

Эффективное преобразование излучения Nd : YAG-лазера в безопасный для глаз спектральный диапазон при вынужденном комбинационном рассеянии в кристалле BaWO₄

Т.Т.Басиев, М.Н.Басиева, А.В.Гаврилов, М.Н.Ершков, Л.И.Ивлева,
В.В.Осико, С.Н.Сметанин, А.В.Федин

Исследованы возможности повышения эффективности однокаскадной ВКР-генерации излучения с длиной волны 1.53 мкм в кристалле BaWO₄, помещенном во внешний ВКР-резонатор, при накачке импульсным наносекундным излучением Nd : YAG-лазера с длиной волны 1.34 мкм. Найдены условия предотвращения оттока энергии во вторую стоксову ВКР-компоненту с длиной волны 1.78 мкм, что позволило повысить эффективность однокаскадной внутриврезонаторной ВКР-генерации на длине волны 1.53 мкм вплоть до 60 %, а дифференциальный КПД ВКР-генерации – вплоть до квантового предела (~80 % при энергии импульсов ВКР-излучения до 20 мДж). Применение лазерной накачки цугами импульсов дало возможность увеличить энергию ВКР-излучения на длине волны 1.53 мкм до 40 мДж в цуге из трех импульсов.

Ключевые слова: вынужденное комбинационное рассеяние, Nd : YAG-лазер, ВКР-резонатор, дифракционные потери.

1. Введение

Создание компактных твердотельных лазеров, эффективно работающих на длине волны ~1.5 мкм, безопасной для глаз и попадающей в «окна прозрачности» атмосферы и оптоволокна, представляет большой интерес для решения различных прикладных задач. При этом часто применяется [1] стоксов сдвиг частоты излучения традиционных неодимовых лазеров посредством вынужденного комбинационного рассеяния (ВКР). Использование для этих целей кристалла нитрата бария Ba(NO₃)₂, имеющего рекордный коэффициент ВКР-усиления, позволило повысить энергию импульсного наносекундного ВКР-излучения на длине волны ~1.5 мкм до 250 мДж при частоте повторения лазерных импульсов 1 Гц [2]. Однако данный кристалл гигроскопичен и обладает низкими термооптическими константами, что ограничивает его длительное применение, в особенности в случае повышения средней мощности лазерного излучения при увеличении частоты повторения лазерных импульсов. В этом плане наиболее конкурентоспособным является кристалл вольфрамата бария BaWO₄, коэффициент ВКР-усиления которого приближается к таковому для кристалла Ba(NO₃)₂ и для длины волны излучения 1.34 мкм составляет 5.8 см × ГВт⁻¹ [3]. При этом кристалл BaWO₄ не гигроскопичен, тверд и обладает лучшими термооптическими свойствами по сравнению с известными ВКР-кристаллами [4].

ВКР-преобразование излучения Nd-лазеров в область длин волн ~1.5 мкм может осуществляться по од-

нокаскадной (в первую стоксову компоненту от длины волны 1.34 мкм) и трехкаскадной (в третью стоксову компоненту от длины волны 1.06 мкм) схемам. При этом ВКР-кристалл часто помещают в высокочастотный ВКР-резонатор для снижения порога ВКР-преобразования.

Трехкаскадная схема была реализована нами ранее в кристаллах Ba(NO₃)₂ [5] и BaWO₄ [6] в ВКР-резонаторе при накачке Nd : YAG-лазером с длиной волны 1.064 мкм. При этом использование кристалла BaWO₄ позволило получить третью стоксову ВКР-компоненту (длина волны 1.51 мкм) со средней мощностью до 0.3 Вт при частоте повторения импульсов накачки 30 Гц и эффективности трехкаскадного ВКР-преобразования ~1 % [6].

Для реализации однокаскадной схемы ВКР-преобразования требуется генерация Nd-лазера на не основном лазерном переходе с длиной волны 1.34 мкм, что ограничивает достижимые энергетические характеристики лазера. Однако характеристики ВКР-преобразования при этом оказываются более высокими. В работе [7] исследовано ВКР-преобразование в кристалле BaWO₄ длиной 4 см, установленном во внешнем ВКР-резонаторе, при накачке Nd : YAG-лазером с длиной волны 1.34 мкм и энергией наносекундного лазерного импульса до 32 мДж. Для преодоления порога ВКР-преобразования интенсивность излучения накачки увеличивали путем его острой фокусировки в кристалл. Эффективность ВКР-преобразования в первую стоксову компоненту (длина волны 1.53 мкм) возросла до 6 %, но дальнейший рост эффективности генерации первой стоксовой компоненты был ограничен ее ВКР-преобразованием во вторую стоксову компоненту (длина волны 1.78 мкм) с такой же эффективностью (~5 %) при максимальной энергии накачки. При этом пороги ВКР-генерации первой и второй стоксовых компонент оказались близкими даже в том случае, когда коэффициент отражения (17%) зеркал ВКР-резонатора для второй стоксовой компоненты меньше, чем для первой (50 %). Таким образом, существует проблема

Т.Т.Басиев, М.Н.Басиева, Л.И.Ивлева, В.В.Осико. Институт общей физики им. А.М.Прохорова РАН, Россия, 119991 Москва, ул. Вавилова, 38; e-mail: basiev@lst.gpi.ru

А.В.Гаврилов, М.Н.Ершков, С.Н.Сметанин, А.В.Федин. Ковровская государственная технологическая академия им. В.А.Дегтярева, Россия, Владимирская обл., 601910 Ковров, ул. Маяковского, 19; e-mail: ssmetaniin@bk.ru

оттока энергии во вторую стоксову ВКР-компоненту, препятствующая увеличению энергии первой стоксовой компоненты ВКР-излучения на длине волны 1.53 мкм.

В настоящей работе нами исследованы возможности повышения эффективности однокаскадной ВКР-генерации излучения с длиной волны 1.53 мкм в кристалле ВаWO₄, установленном во внешнем ВКР-резонаторе, при накачке импульсным наносекундным излучением Nd:YAG-лазера с длиной волны 1.34 мкм.

2. Теоретическое описание ВКР в резонаторе

Использование ВКР-резонатора позволяет селективно управлять потерями в процессе генерации различных ВКР-компонент излучения. При этом добротность резонатора повышают для требуемых компонент и понижают для нежелательных компонент, тогда требуемые компоненты генерируются в многопроходном режиме и испытывают большее ВКР-усиление, чем нежелательные.

Хорошо известно условие порога ВКР [1]

$$gI_{th}L_{eff} \approx 25, \tag{1}$$

где g – коэффициент ВКР-усиления среды; I_{th} – пороговая интенсивность излучения накачки в ВКР-среде; L_{eff} – эффективная длина взаимодействия излучения накачки с ВКР-средой. В случае помещения ВКР-среды в ВКР-резонатор эффективная длина взаимодействия может быть определена [8] как

$$L_{eff} = LN_{eff}, \tag{2}$$

где L – длина ВКР-среды; N_{eff} – эффективное число проходов ВКР-излучения по ВКР-резонатору.

С другой стороны, учет потерь в ВКР-резонаторе и конечности длительности импульса накачки дает условие порога ВКР в резонаторе:

$$(g_r I_{th} - k_1)z_0 \approx 25, \tag{3}$$

где $g_r = gL/L_r$ – распределенный по длине резонатора коэффициент ВКР-усиления; L_r – оптическая длина ВКР-резонатора; $z_0 = \tau_0 c$; τ_0 – длительность импульса излучения накачки; c – скорость света;

$$k_1 = \frac{1}{L_r} \ln \frac{1}{\sqrt{R_1}} \tag{4}$$

– коэффициент распределенных потерь резонатора для ВКР-излучения; R_1 – коэффициент отражения выходного зеркала резонатора для ВКР-излучения (или произведение коэффициентов отражения входного и выходного зеркал, если входное зеркало также частично пропускает ВКР-излучение). При этом из (1)–(4) легко находится выражение для эффективного числа проходов:

$$N_{eff} \approx \left(\frac{L_r}{\tau_0 c} + \frac{1}{25} \ln \frac{1}{\sqrt{R_1}} \right)^{-1}. \tag{5}$$

Подстановка N_{eff} (5) в (1), (2) дает пороговую интенсивность I_{th} накачки. Для эффективного ВКР-преобразования интенсивность излучения накачки внутри ВКР-резонатора должна превышать пороговую.

На рис.1 представлены зависимости эффективного числа проходов N_{eff} от коэффициента отражения R_1 выходного зеркала ВКР-резонатора для ВКР-излучения, рассчитанные по формуле (5) (сплошные кривые) при

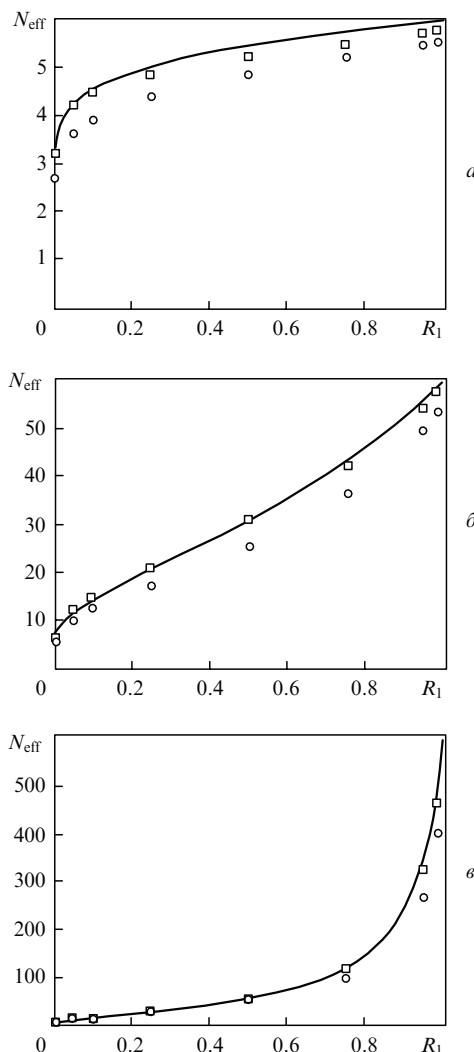


Рис.1. Теоретические (кривые) и расчетные (точки) зависимости эффективного числа проходов N_{eff} от коэффициента отражения R_1 выходного зеркала ВКР-резонатора для ВКР-излучения при $\tau_0 c/L_r = 6$ (а), 60 (б) и 600 (в) для входных импульсов гауссовой (○) и прямоугольной (□) формы.

различных относительных длительностях лазерного излучения $\tau_0 c/L_r$.

Из рис.1 видно, что при увеличении коэффициента отражения выходного зеркала R_1 эффективное число проходов N_{eff} увеличивается от значения, близкого к единице, до значения, близкого к $\tau_0 c/L_r$. При этом увеличение относительной длительности лазерного излучения $\tau_0 c/L_r$ приводит к более стремительной зависимости N_{eff} от R_1 . В связи с этим необходимо отметить, что при более длинном лазерном импульсе селекция нежелательных ВКР-компонент путем введения селективных потерь (например, с помощью дихроичного выходного зеркала) происходит легче, что и требуется для предотвращения генерации второй стоксовой компоненты. Так, при $R_1 = 80\%$ и 10% для первой и второй стоксовых компонент в случае $\tau_0 c/L_r = 60$ эффективное число проходов для второй стоксовой компоненты в три раза меньше, чем для первой, а в случае $\tau_0 c/L_r = 600$ эффективные числа проходов для данных ВКР-компонент различаются уже на порядок, что позволяет предотвращать генерацию второй стоксовой компоненты введением селективных потерь.

Оценим по формулам (1)–(5) пороговую интенсивность импульсного наносекундного ($\tau_0 = 50$ нс) лазерного излучения ($\lambda_0 = 1.34$ мкм) для ВКР-генерации первой стоксовой компоненты ($\lambda_1 = 1.53$ мкм) в кристалле ВаWO₄ длиной $L = 4$ см, установленном в ВКР-резонаторе с оптической длиной $L_r = 14$ см, выходное зеркало которого имеет коэффициент отражения $R_1 = 50\%$ для первой стоксовой компоненты, что соответствует параметрам экспериментальной системы, описанной в [7]. Расчет по формуле (5) дает эффективное число проходов $N_{\text{eff}} \approx 40$. Следовательно, пороговый инкремент ВКР-усиления $gI_{\text{th}}L = 25/N_{\text{eff}} \approx 0.6$, а пороговая интенсивность лазерного излучения накачки $I_{\text{th}} \approx 26$ МВт/см². Однако в соответствующем эксперименте [7] пороговая интенсивность была на порядок больше, что говорит о несправедливости данной приближенной оценки.

Несоответствие теории и эксперимента может быть объяснено тем, что высокая интенсивность накачки в эксперименте [7] достигалась путем острой фокусировки лазерного излучения линзой с фокусным расстоянием 180 мм, что не учтено в теоретической оценке. При этом длина перетяжки пучка накачки была как минимум в два раза меньше длины ВКР-резонатора, что обуславливает существенные дифракционные потери при отражении от плоских зеркал резонатора.

Учет дифракционных потерь излучения можно провести при математическом моделировании процесса ВКР-преобразования, что также позволяет учесть генерацию не только первой, но и второй стоксовой компоненты.

3. Математическое моделирование с учетом дифракционных потерь

Построим модель ВКР в кристалле ВаWO₄, помещенном во внешний резонатор. Пусть резонатор имеет высокую добротность для генерации требуемой первой стоксовой компоненты с $\lambda_1 = 1.53$ мкм. Пусть также резонатор имеет некоторую добротность и для нежелательной второй стоксовой ВКР-компоненты излучения, условия предотвращения генерации которой необходимо исследовать. Остальные ВКР-компоненты можно не принимать во внимание.

Система скоростных уравнений, описывающих двухкаскадное ВКР-преобразование, записывается следующим образом [9]:

$$\begin{aligned} \left(\pm \frac{\partial}{\partial z} + \frac{n}{c} \frac{\partial}{\partial t} \right) I_0^{(\pm)} &= -g \frac{\lambda_1}{\lambda_0} (I_1^{(+)} + I_1^{(-)}) I_0^{(\pm)} - k_0^{(\pm)} I_0^{(\pm)}, \\ \left(\pm \frac{\partial}{\partial z} + \frac{n}{c} \frac{\partial}{\partial t} \right) I_1^{(\pm)} &= -g \frac{\lambda_2}{\lambda_1} (I_2^{(+)} + I_2^{(-)}) I_1^{(\pm)} \\ &+ g (I_0^{(+)} + I_0^{(-)}) (I_1^{(\pm)} + \varepsilon I_0^{(\pm)}) - k_1^{(\pm)} I_1^{(\pm)}, \\ \left(\pm \frac{\partial}{\partial z} + \frac{n}{c} \frac{\partial}{\partial t} \right) I_2^{(\pm)} &= g (I_1^{(+)} + I_1^{(-)}) (I_2^{(\pm)} + \varepsilon I_1^{(\pm)}) - k_2^{(\pm)} I_2^{(\pm)}, \end{aligned} \quad (6)$$

где n – показатель преломления ВКР-среды; $I_j^{(\pm)}$ – интенсивность волны накачки ($j = 0$), первой стоксовой ($j = 1$) и второй стоксовой ($j = 2$) волн, распространяющихся вперед (+) и назад (–) по ВКР-среде; $k_j^{(\pm)}$ – коэффициенты вредных потерь; ε – затравочный коэффициент.

Граничные условия для системы уравнений (6) имеют вид

$$\begin{aligned} I_0^{(+)}(0, t) &= I_{\text{in}}(t)(1 - R_0^{\text{in}}) + I_0^{(-)}(0, t - t_{\text{in}})R_0^{\text{in}}, \\ I_0^{(-)}(L, t) &= I_0^{(+)}(L, t - t_{\text{out}})R_0^{\text{out}}, \\ I_1^{(+)}(0, t) &= I_1^{(-)}(0, t - t_{\text{in}})R_1^{\text{in}}, \\ I_1^{(-)}(L, t) &= I_1^{(+)}(L, t - t_{\text{out}})R_1^{\text{out}}, \\ I_2^{(+)}(0, t) &= I_2^{(-)}(0, t - t_{\text{in}})R_2^{\text{in}}, \\ I_2^{(-)}(L, t) &= I_2^{(+)}(L, t - t_{\text{out}})R_2^{\text{out}}, \end{aligned} \quad (7)$$

где R_j^{in} и R_j^{out} – коэффициенты отражения входного (in) и выходного (out) зеркал ВКР-резонатора для j -й ВКР-компоненты; t_{in} и t_{out} – времена двойного прохода от зеркал резонатора до ближайших торцов ВКР-кристалла; $I_{\text{in}}(t)$ – интенсивность входного импульса излучения накачки.

Проведем численное решение системы уравнений (6) с граничными условиями (7) при следующих фиксированных входных параметрах [1]: $\lambda_0 = 1.34$ мкм, $\lambda_j = (\lambda_0^{-1} - j\nu_R)^{-1}$, $\nu_R = 926$ см⁻¹, $g = 5.8$ см/ГВт, $L = L_r/n = 5$ см (зеркала на торцах кристалла), $n = 1.84$, $\varepsilon = 10^{-11}$, $R_0^{\text{in}} = 0$, $R_1^{\text{in}} = R_2^{\text{in}} = 100\%$, $R_2^{\text{out}} = 10\%$. При этом рассмотрим случаи однопроходной ($R_0^{\text{out}} = 0$) и двухпроходной ($R_0^{\text{out}} = 100\%$) накачки. Во втором случае полное отражение выходным зеркалом излучения накачки приводит к удвоению внутррезонаторной интенсивности I_L накачки по сравнению с интенсивностью I_{in} на входе в ВКР-резонатор.

На рис.1 вместе с теоретическими зависимостями представлены результаты численного моделирования при $k_j^{(\pm)} = 0$ для входных импульсов разной формы. Видно, что в случае прямоугольного импульса результаты численного эксперимента хорошо соответствуют теоретической зависимости с погрешностью менее 10%. При гауссовом входном импульсе данная погрешность не превышает 20%, т. е. оценки по формуле (5) можно считать удовлетворительными даже в случае гауссова лазерного импульса, получаемого обычно в эксперименте.

Учет фокусировки излучения накачки может быть проведен в рамках системы уравнений (6) через коэффициенты вредных потерь $k_0^{(\pm)}$. Изменение радиуса лазерного пучка внутри резонатора при фокусировке лазерного излучения на входное зеркало ВКР-резонатора (соответствует эксперименту [7]) можно определить как [10]

$$r^2(z) = r_0^2 \left(1 + \frac{z^2}{z_w^2} \right), \quad (8)$$

где z – продольная координата, отсчитываемая от входа в ВКР-резонатор; z_w – длина перетяжки лазерного пучка. В этом случае коэффициент дифракционного уменьшения интенсивности пучка накачки, распространяющегося вдоль оси z , определяется как

$$k_0^{(+)} = \frac{2z}{z_w^2 + z^2}. \quad (9)$$

Мы имеем ВКР-резонатор, в котором лазерное излучение распространяется не только вперед (с потерями $k_0^{(+)}$),

но и назад (с потерями $k_0^{(-)}$), отражаясь от выходного зеркала. При отражении лазерного пучка назад плоским зеркалом получим

$$k_0^{(-)} = \frac{2(2L - z)}{z_w^2 + (2L - z)^2}. \quad (10)$$

На рис.2 приведены расчетные зависимости пороговых инкрементов $(gI_{in}L)_{th1, th2}$ генерации первой и второй стоксовых ВКР-компонент излучения от отношения длины перетяжки пучка накачки к длине ВКР-резонатора z_w/L_r в случаях однопроходной ($R_0^{out} = 0$) и двухпроходной ($R_0^{out} = 100\%$) накачки при $R_1^{out} = 50\%$ (соответствует эксперименту [7]) для гауссова импульса накачки с пиковой интенсивностью I_{in} и относительной длительностью $\tau_0 c/L_r = 60$.

Из рис.2 видно, что уменьшение относительной длины перетяжки пучка z_w/L_r приводит, во-первых, к увеличению пороговых инкрементов, особенно быстрому при $z_w/L_r < 1$, а во-вторых, к сближению пороговых инкрементов для первой и второй стоксовых компонент (сближение кривых 1 и 2, а также 3 и 4). Так, при $z_w/L_r = 3$ в случае однопроходной накачки пороговые инкременты составляют 1.03 для первой стоксовой компоненты и 1.48 для второй, а в случае двухпроходной накачки – 0.52 и 1.07 соответственно. Уменьшение относительной длины перетяжки пучка z_w/L_r ($z_w/L_r < 0.5$) приводит к многократному увеличению пороговых инкрементов $(gI_{in}L)_{th1, th2}$, но при этом они различаются менее чем в 1.3 раза в случаях однопроходной и двухпроходной накачки. Это объясняет наблюдаемый в эксперименте [7] завышенный (относительно теоретической оценки) порог генерации первой стоксовой компоненты и заниженный (относительно этого порога) порог генерации второй стоксовой компоненты (экспериментально измеренные пороговые энергии равны соответственно 14 и 18 мДж и различаются также в 1.3 раза) при острой фокусировке излучения накачки ($z_w/L_r < 0.5$). Отметим, что результаты моделирования с учетом паразитных потерь первой и второй стоксовых компонент ($k_{1,2}^{(\pm)} > 0$) качественно не изменили представленную картину.

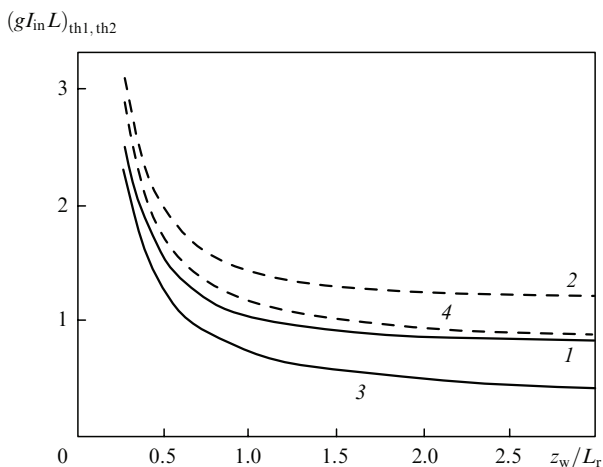


Рис.2. Расчетные зависимости пороговых инкрементов $(gI_{in}L)_{th1, th2}$ (сплошные кривые) и $(gI_{in}L)_{th2}$ (штриховые кривые) ВКР-генерации первой (1, 3) и второй (2, 4) стоксовых ВКР-компонент излучения от относительной длины перетяжки лазерного пучка накачки z_w/L_r в случаях однопроходной (1, 2) и двухпроходной (3, 4) накачки при $R_1^{out} = 50\%$ и $\tau_0 c/L_r = 60$.

Таким образом, наилучшие условия для предотвращения генерации второй стоксовой компоненты наблюдаются при $z_w/L_r \geq 3$, т.е. нужно отказаться от острой фокусировки лазерного излучения накачки, а инкремент ВКР-усиления увеличивать путем использования более мощного лазера накачки или ВКР-среды большей длины. Необходимо отметить дополнительные преимущества двухпроходной накачки по сравнению с однопроходной, также демонстрируемые на рис.2. К известному факту – снижению порога генерации первой стоксовой компоненты – добавляется тот факт, что при $z_w/L_r \geq 3$ порог генерации второй стоксовой компоненты оказывается выше порога первой в 2.06 раза в отличие от случая однопроходной накачки, где он лишь в 1.43 раза выше (заметим, что мы принимали $R_1^{out} = 50\%$, $R_2^{out} = 10\%$).

4. Экспериментальные исследования однокаскадной ВКР-генерации излучения с длиной волны 1.53 мкм

Оптическая схема экспериментальной установки представлена на рис.3. Для увеличения энергии лазерной генерации в резонаторе лазера накачки использовались два активных YAG:Nd-элемента 1 и 2 размером $\varnothing 6.3 \times 130$ мм, помещенные в одноламповые квантроны с диффузионными отражателями и импульсной ламповой накачкой длительностью 250 мкс с частотой повторения 5 Гц. Селективный Z-образный резонатор Nd:YAG-лазера накачки был образован глухими зеркалами 3, 4 и 5 (коэффициент отражения на $\lambda_0 = 1.34$ мкм $R_{1.34} = 99\%$, коэффициент отражения на длине волны 1.064 мкм $R_{1.064} < 1\%$) и пропускающим выходным зеркалом 6 ($R_{1.34} = 40\%$, $R_{1.064} < 1\%$). Несмотря на нежелательное увеличение длины резонатора, данная схема обеспечила эффективное подавление излучения на длине волны 1.064 мкм. В качестве модулятора добротности 7 применялся электрооптический затвор на кристалле LiNbO₃ или пассивный затвор на кристалле YAG:V с начальным пропусканием 50% на $\lambda_0 = 1.34$ мкм. С целью улучшения модового состава излучения и предотвращения повреждения торцов оптических элементов устанавливалась диафрагма 8 диаметром 5 мм.

Для обеспечения возможности ВКР-генерации без фокусировки излучения накачки использовался ВКР-кристалл BaWO₄ длиной $L = 8$ см (в два раза больше, чем в работе [7]). ВКР-кристалл 9 помещался во внешний ВКР-резонатор (геометрическая длина резонатора 16 см), образованный вогнутым входным зеркалом 10 (радиус кривизны 500 мм, $R_{1.34} = 20\%$, $R_{1.53} = 80\%$) и плоским выходным зеркалом 11 ($R_{1.34} = 99\%$, $R_{1.53} = 60\%$). Заметим, что произведение коэффициентов отражения зеркал

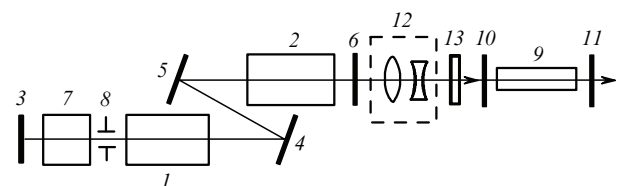


Рис.3. Оптическая схема экспериментальной установки: 1, 2 – активные YAG:Nd-элементы; 3–5 – глухие зеркала; 6 – выходное зеркало лазера накачки; 7 – лазерный затвор; 8 – апертурная диафрагма; 9 – ВКР-кристалл BaWO₄; 10, 11 – зеркала ВКР-резонатора; 12 – четырехкратный телескоп; 13 – калиброванный фильтр.

ВКР-резонатора для $\lambda_1 = 1.53$ мкм составляет $\sim 50\%$, как и в работе [7], но при этом зеркало *11* обеспечивает двухпроходную накачку, приводящую к повышению эффективности генерации первой стоксовой компоненты и ослаблению генерации второй стоксовой компоненты.

Увеличение интенсивности лазерного излучения в ВКР-резонаторе достигалось не с помощью фокусировки лазерного излучения, как в работе [7], а путем применения четырехкратного телескопа *12*, уменьшающего диаметр лазерного пучка в ВКР-резонаторе с 5.2 до 1.3 мм. Для изменения вкачиваемой в ВКР-резонатор энергии лазерного излучения в качестве фильтра *13* использовались калиброванные частично пропускающие зеркала.

Экспериментальные исследования энергетических лазерных характеристик проводились с помощью измерителя мощности и энергии Ophir. Временные параметры измерялись лавинным фотодиодом ЛФД-2А, подключенным к осциллографу Agilent (300 МГц). Разделение ВКР-компонент излучения осуществлялось дисперсионными призмами.

Сначала исследования выполнялись с использованием электрооптического затвора в лазере накачки. При этом Nd:YAG-лазер накачки генерировал моноимпульс излучения на $\lambda_0 = 1.34$ мкм длительностью 40 нс. На рис.4 представлены экспериментальные зависимости энергии импульса W_S , а также энергетической эффективности η ВКР-преобразования для первой и второй стоксовых ВКР-компонент излучения от энергии импульса излучения накачки W_L . Данные рис.4 соответствуют суммарному ВКР-излучению, выходящему из ВКР-резонатора не только вперед через зеркало *11* (рис.3), но и назад через зеркало *10* (параметры обратного ВКР-излучения измерялись при отражении от фильтрующего зеркала *13*).

Из рис.4 видно, что при увеличении энергии W_L энергия импульса W_S первой стоксовой ВКР-компоненты сначала растет линейно и эффективность η ВКР-преобразования при трехкратном превышении порога ВКР-генерации достигает высокого значения – более 50%. По сравнению с результатами работы [7] здесь начальная скорость роста энергии первой стоксовой компоненты на порядок больше благодаря отсутствию низкого порога генерации второй стоксовой компоненты, и только при энергии накачки $W_L > 21$ мДж наблюдается насыщение роста энергии на $\lambda_1 = 1.53$ мкм из-за преодоления порога генерации второй стоксовой компоненты и оттока в нее части энергии. При максимальной энергии лазерного импульса накачки 31 мДж (ограниченной повреждением торцов ВКР-кристалла) энергии импульсов первой и второй стоксовых компонент достигают 16.7 и 3.3 мДж соответственно. Энергетическая эффективность генерации первой стоксовой компоненты имеет максимум $\eta \approx 60\%$ при $W_L = 23$ мДж, а эффективность генерации второй стоксовой компоненты имеет наибольшее значение $\eta \approx 10\%$ при максимальной энергии накачки. Дифференциальный КПД суммарной генерации первой и второй стоксовых ВКР-компонент составил $\sim 80\%$, что близко к квантовому пределу $(\lambda_0/\lambda_1)100\% = 87.6\%$. При этом длительность импульсов ВКР-излучения была равна 30 нс.

Из рис.4 также видно, что пороговая энергия генерации первой стоксовой ВКР-компоненты – около 6 мДж – оказалась примерно в два раза меньше, чем в работе [7], хотя нами не использовалась острая фокусировка излучения накачки. При этом экспериментально измеренная

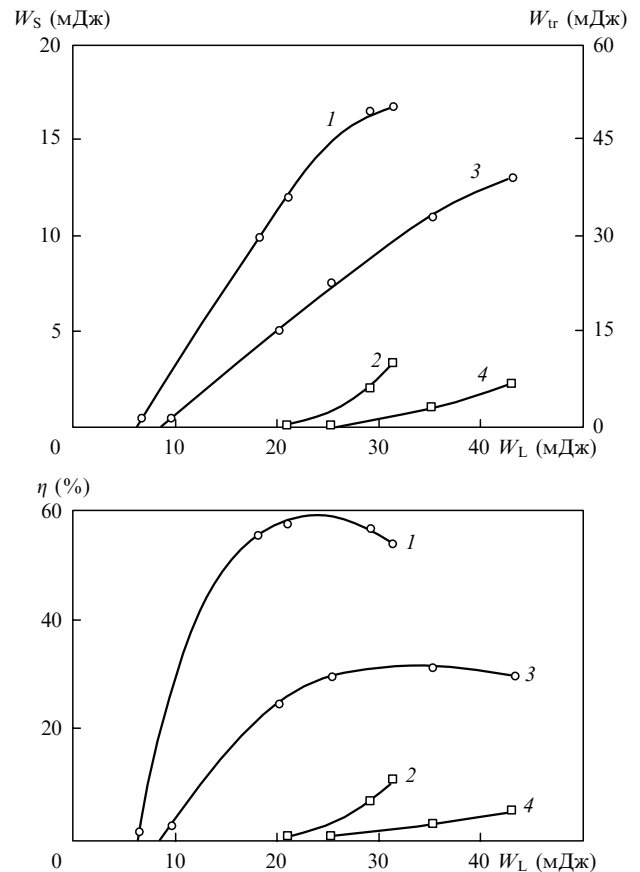


Рис.4. Экспериментальные зависимости энергии импульса W_S (1, 2) и дуга импульсов W_{tr} (3, 4) (а), а также энергетической эффективности η (б) ВКР-преобразования для первой (1, 3) и второй (2, 4) стоксовых ВКР-компонент излучения от энергии импульса W_L излучения накачки, полученные при использовании электрооптического (1, 2) и пассивного (3, 4) затворов.

пороговая интенсивность входного импульсного излучения накачки I_{in} (длительность импульса 40 нс, диаметр пучка 1.3 мм) составила 11.3 МВт/см², а экспериментальный пороговый инкремент ВКР-усиления $(gI_{in}L)_{th1} = 0.524$, что хорошо согласуется с результатом математического моделирования (0.52) в случае двухпроходной накачки при $z_w/L_R \geq 3$ (см. рис.2, кривая 3). Также наблюдается удовлетворительное согласие с теоретической оценкой порога ВКР по формулам (1)–(5), в которых $I_{th} \approx 2I_{in}$ (двухпроходная накачка): эффективное число проходов $N_{eff} \approx 29$ и пороговый инкремент ВКР-усиления $(gI_{in}L)_{th1} \approx 25/(2N_{eff}) = 0.43$ (погрешность менее 20%).

Необходимо отметить достигнутое в эксперименте большое различие порогов генерации первой и второй стоксовых компонент (в 3.5 раза), что позволило повысить эффективность однокаскадной внутррезонаторной ВКР-генерации на $\lambda_1 = 1.53$ мкм вплоть до квантового предела при энергии ВКР-излучения до 20 мДж. Данное различие оказалось даже выше прогнозируемого при математическом моделировании (в два раза, см. рис.2, кривые 3 и 4 при $z_w/L_R \geq 3$), что мы объясняем большей спектральной селекцией излучения с $\lambda_2 = 1.78$ мкм зеркалами ВКР-резонатора, каждое из которых отражало не более 20% на этой длине волны.

Для обеспечения возможности увеличения вложенной энергии накачки проводились также исследования с пас-

сивным затвором в лазере накачки. При этом Nd:YAG-лазер накачки генерировал пуги из трех лазерных импульсов с длительностью отдельного импульса 60 нс. Благодаря увеличению в 1.5 раза длительности лазерных импульсов (ранее была 40 нс) наибольшая энергия отдельного импульса накачки, ограниченная повреждением торцов ВКР-кристалла, пропорционально увеличилась от 31 мДж (предыдущий эксперимент) до 43 мДж, что позволило вкачивать в ВКР-резонатор пуги из трех лазерных импульсов с энергией пугов до 130 мДж. Изменение энергии лазерного излучения, вводимого в ВКР-резонатор, также проводилось с помощью сменных калиброванных фильтров 13 (рис.3).

Результаты данного эксперимента также представлены на рис.4. Из рис.4,а видно, что крутизна роста энергетических зависимостей (кривые 3 и 4) уменьшилась по сравнению со случаем использования электрооптического затвора (кривые 1 и 2) в 1.8 раза, но качественно зависимости схожи. При наибольшей энергии импульса накачки $W_L = 43$ мДж энергия импульса первой стоксовой компоненты с $\lambda_1 = 1.53$ мкм достигала 13 мДж, а энергия импульса второй стоксовой компоненты с $\lambda_2 = 1.78$ мкм – 2.2 мДж. При этом из рис.4,б видно, что максимальная эффективность ВКР-преобразования в первую стоксову компоненту составила 31 %, а во вторую – 5 %. Дифференциальный КПД суммарной ВКР-генерации был равен 44 %. Уменьшение эффективности ВКР-генерации можно объяснить тем, что, во-первых, лазерные импульсы в пуге имели большой разброс интенсивностей (характерный для пассивной модуляции добротности), а во-вторых, эффективности их ВКР-преобразования также имели разброс, что вместе приводило к ухудшению характеристик суммарного ВКР-преобразования пугов импульсов. Однако благодаря большой энергии накачки (130 мДж) в данном эксперименте были получены наибольшие абсолютные значения энергии ВКР-излучения в пуге из трех импульсов на $\lambda_1 = 1.53$ мкм ($W_{tr} = 40$ мДж) и на $\lambda_2 = 1.78$ мкм ($W_{tr} = 6.6$ мДж).

5. Заключение

Таким образом, проведены исследования возможности повышения эффективности однокаскадной ВКР-генерации излучения с длиной волны 1.53 мкм в кристалле

BaWO₄, установленном во внешнем ВКР-резонаторе, при накачке импульсным наносекундным излучением Nd:YAG-лазера с длиной волны 1.34 мкм.

С помощью теоретических оценок и математического моделирования проанализированы условия генерации первой и второй стоксовых компонент ВКР-излучения в ВКР-резонаторе. Найдены условия предотвращения оттока энергии во вторую стоксову ВКР-компоненту с длиной волны 1.78 мкм для увеличения эффективности однокаскадной внутррезонаторной ВКР-генерации на длине волны 1.53 мкм.

В эксперименте достигнуто различие порогов генерации первой и второй стоксовых ВКР-компонент в 3.5 раза, что позволило повысить эффективность однокаскадной внутррезонаторной ВКР-генерации на длине волны 1.53 мкм вплоть до 60 %, а дифференциальный КПД ВКР-генерации – вплоть до квантового предела (~80 % при энергии импульсов ВКР-излучения до 20 мДж). Применение лазерной накачки пугами импульсов привело к увеличению энергии ВКР-излучения на длине волны 1.53 мкм до 40 мДж в пуге из трех импульсов.

Дальнейшие исследования будут посвящены повышению средней мощности ВКР-излучения на длине волны 1.53 мкм при увеличении частоты повторения импульсов излучения, что может быть реализовано благодаря наилучшим среди ВКР-кристаллов термооптическим свойствам BaWO₄.

1. Basiev T.T., Powell R.C., in *Handbook of Laser Technology and Applications* (Bristol–Philadelphia: Institute of Physics Publishing, 2004).
2. Murray J.T., Powel R.C., Peyghambarian N., Smith D., Austin W., Stolzenberger R.A. *Opt. Lett.*, **20**, 1017 (1995).
3. Басиев Т.Т. *ФТТ*, **47** (8), 1354 (2005).
4. Басиев Т.Т., Осико В.В. *Успехи химии*, **75**, 939 (2006).
5. Basiev T.T., Fedin A.V., Gavrilov A.V., Osiko V.V., Smetanin S.N. *Laser Phys.*, **13**, 1013 (2003).
6. Басиев Т.Т., Гаврилов А.В., Осико В.В., Сметанин С.Н., Федин А.В. *Квантовая электроника*, **34** (7), 649 (2004).
7. Грэхэм К., Федоров В.В., Мирон С.Б., Дорошенко М.Е., Басиев Т.Т., Орловский Ю.В., Осико В.В., Бадиков В.В., Панютин В.Л. *Квантовая электроника*, **34** (1), 8 (2004).
8. Zverev P.G., Basiev T.T., Prokhorov A.M. *Opt. Mater.*, **11**, 335 (1999).
9. Шен И.Р. *Принципы нелинейной оптики* (М.: Наука, 1989).
10. Звелто О. *Принципы лазеров* (М.: Мир, 1990).